

# РЕШЕНИЕ ЗАДАЧИ О МОНОПОЛЕ МЕТОДОМ РЕШЕТОЧНЫХ УРАВНЕНИЙ БОЛЬЦМАНА

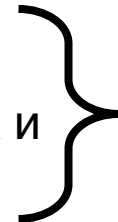
Забелло К.К., Гарбарук А.В.

CFD Weekend-2025, 29–30 ноября 2023

- **Метод решёточных уравнений Больцмана (LBM)** является развитием моделей решеточного газа (Lattice Gas Models, LGM).
  - LBM описывает поведение среды путем моделирования процессов переноса и столкновений
    - Решаются модельные кинетические уравнения

Достоинства LBM:

- Высокая скорость счета
- Явная схема
- Строгое разделение нелокальных и нелинейных слагаемых



- Высокая масштабируемость и параллелизуемость.
- Расчеты на супер компьютерном кластере JUQUEEN демонстрируют линейное ускорение вплоть до 2 млн процессов на сетке в 886 млрд узлов, с скоростью близкой к **1 трлн узлов в секунду** [1].

[1] Schornbaum F., Rüde U. Massively Parallel Algorithms for the Lattice Boltzmann Method on NonUniform Grids // SIAM Journal on Scientific Computing. — 2016.

- В СПбПУ разрабатывается код, реализующий метод LBM

Цель работы:

- Исследование возможностей метода LBM для описания распространения акустических возмущений на примере канонической задачи о распространении тонального сигнала в неограниченном пространстве.



- Язык C++;
- Структура данных: Struct of Arrays + структурированная сетка;
- Вывод данных с использованием библиотеки VTK;
- Средства разработки: VS2022 + Git + CMake
- Имеется две версии кода:



CPU-версия:

- Intel One API (icpx + MPI, неблокирующие обмены)
- Linux (WSL)

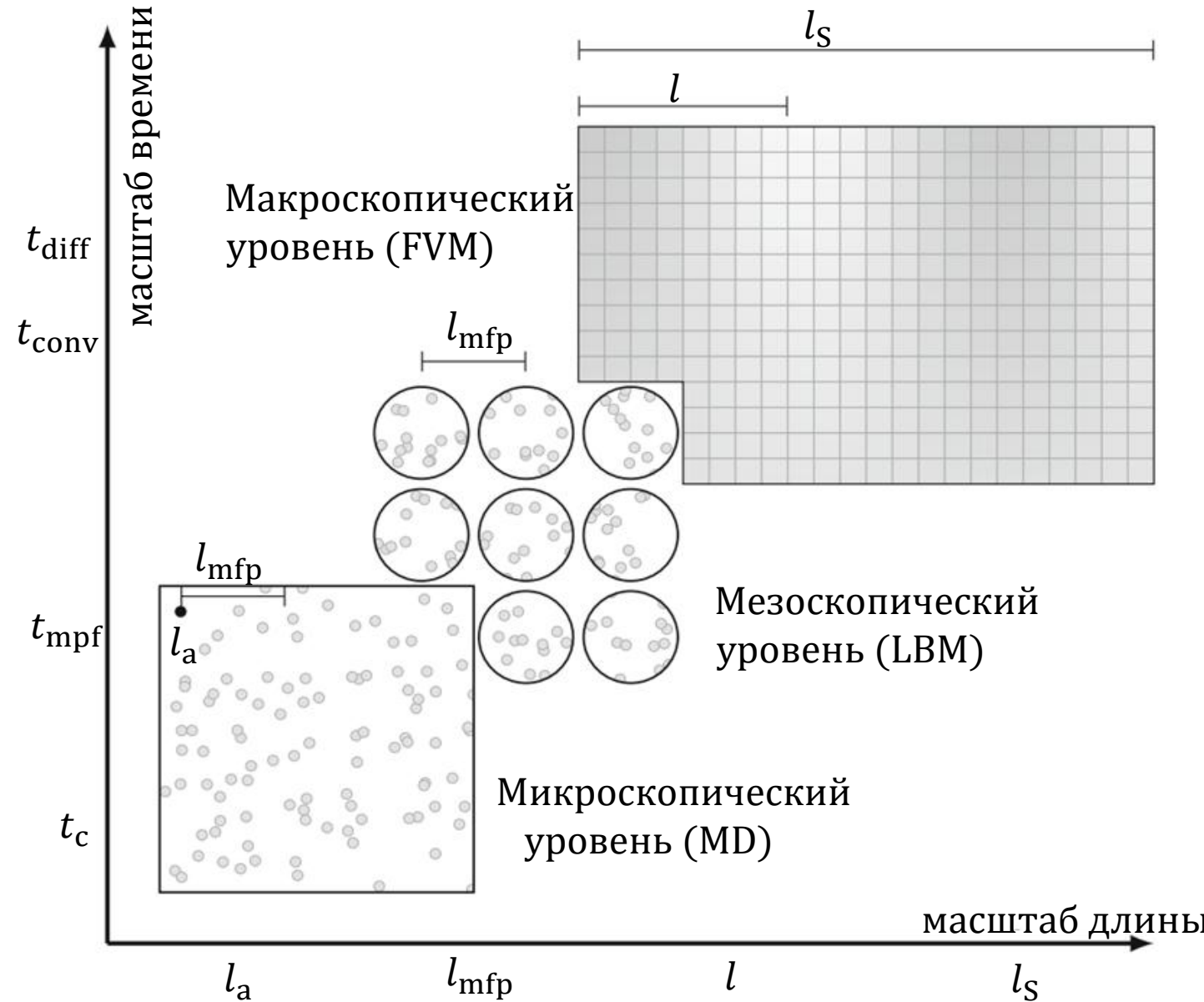
GPU-версия:

- CUDA Toolkit (CUDA + cl.exe)
- Windows

Сравнение скорости решения на CPU и GPU

Сетка	CPU (i5-9300H, 4 проц.), с	GPU (GeForce GTX 1650), с
1 млн узлов	220	30

# Метод решёточных уравнений Больцмана



Метод LBM осуществляет приближенное решение уравнения Больцмана:

$$\frac{\partial f}{\partial t} + \vec{\xi} \cdot \nabla f + \frac{\vec{F}}{\rho} \cdot \nabla_{\vec{\xi}} f = \Omega$$

где  $f(\vec{r}, \vec{\xi}, t)$  - функция распределения частиц, которая в равновесии стремится к распределение Максвелла:  $\lim_{t \rightarrow \infty} f \rightarrow f^{eq}$   
 $\vec{r}, \vec{\xi}, t$  – переменные пространства координат, скорости и времени

$\vec{F}$  – вектор внешних сил;

$\Omega = -\frac{f-f^{eq}}{\tau}$  – интеграл столкновений в приближении Бхатнагара-Гросса-Крука

$\tau$  – время релаксации (параметр);

- Макровеличины являются моментами  $f(\vec{r}, \vec{\xi}, t)$ :  $\rho(\vec{r}, t) = \iiint f d^3 \vec{\xi}$ ;
- $\rho \vec{v}(\vec{r}, t) = \iiint \vec{\xi} f d^3 \vec{\xi}$  и др;

Дискретизация проводится в семимерном пространстве  $(\vec{r}, \vec{\xi}, t)$ :

- В пространстве скоростей используется разложение по дискретному набору, называемому решеткой  $f(\vec{r}, \vec{\xi}, t) \rightarrow \{f_i(\vec{r}, t); \vec{c}_i\}_{i=1}^N, N = 9$ 
  - Это разложение получается из разложения по полиномам Эрмита до второго порядка
- В физическом пространстве и по времени проводится дискретизация с постоянными шагами  $\Delta x$  и  $\Delta t$

В итоге получается решеточное уравнение Больцмана:

$$f_i(\vec{r} + \vec{c}_i \Delta t, t + \Delta t) = f_i(\vec{r}, t) - \frac{f_i(\vec{r}, t) - f_i^{eq}(\vec{r}, t)}{\tau} \Delta t$$

На каждом шаге по времени в каждой точке выполняется 2 этапа

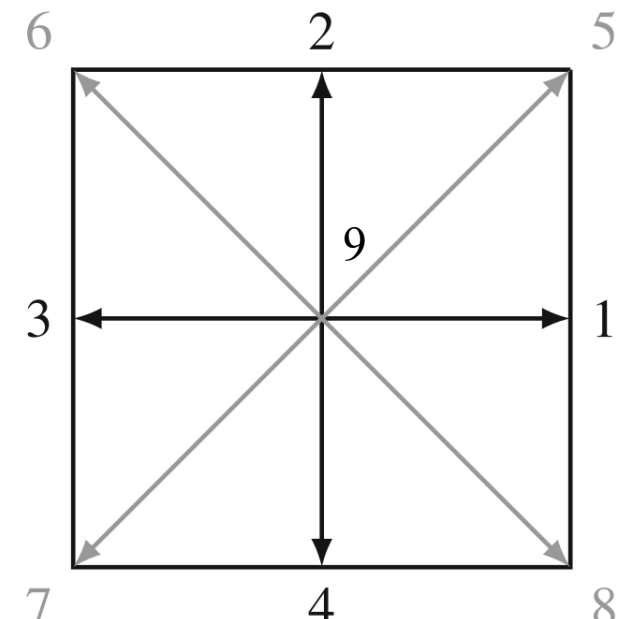


Расчет влияния столкновений на функцию распределения в каждом узле

$$f_i^*(\vec{r}, t) = f_i(\vec{r}, t) - \frac{f_i(\vec{r}, t) - f_i^{eq}(\vec{r}, t)}{\tau} \Delta t$$

Перенос функций распределения в соседние узлы

$$f_i(\vec{r} + \vec{c}_i \Delta t, t + \Delta t) = f_i^*(\vec{r}, t)$$



**D2Q9**



- Инициализация ( $\rho, \vec{v} \rightarrow f_i$ )
- Итерационный цикл по времени
  - Вычисление моментов ( $f_i \rightarrow \rho, \vec{v}$ )
    - $\rho = \sum_i f_i$
    - $\rho \vec{v} = \sum_i \vec{c}_i f_i$
  - Вычисление равновесной функции ( $\rho, \vec{v} \rightarrow f_i^{eq}$ )
  - Столкновение ( $f_i, f_i^{eq} \rightarrow f_i^*$ )
    - $f_i^*(\vec{r}, t) = f_i(\vec{r}, t) - \frac{f_i(\vec{r}, t) - f_i^{eq}(\vec{r}, t)}{\tau} \Delta t$
  - Перенос ( $f_i^* \rightarrow f_i$ )
    - $f_i(\vec{r} + \vec{c}_i \Delta t, t + \Delta t) = f_i^*(\vec{r}, t)$
  - Учет граничных условий ( $f_i^* \rightarrow f_i$ )
- Вывод результатов ( $\rho, \vec{v} \rightarrow \text{диск}$ )



Используя разложение Чепмена-Энскога по малому параметру  $\varepsilon = O(Kn)$ :

$$f_i = f_i^{eq} + \varepsilon f_i^{(1)} + \varepsilon^2 f_i^{(2)} + \dots$$

из решеточного уравнения Больцмана можно перейти к системе уравнений Навье-Стокса:

$$\frac{\partial \rho}{\partial t} + \nabla \cdot (\rho \vec{v}) = q + O(\Delta x^2) + O(\Delta t^2);$$

$$\frac{\partial \rho \vec{v}}{\partial t} + \nabla \cdot (\rho \vec{v} \vec{v}) = -\nabla p + \nabla \cdot (\mu (\nabla \vec{v} + (\nabla \vec{v})^T)) + O(\Delta x^2) + O(\Delta t^2) + O(|\vec{v}|^3)$$

Изотермическое уравнение состояния:

$$p = c_s^2 \rho,$$

Дискретизация по  
времени и пространству

где  $c_s = \frac{1}{\sqrt{3}} \frac{\Delta x}{\Delta t}$  – скорость звука

Коэффициент динамической вязкости:

$$\mu = \rho c_s^2 \left( \tau - \frac{\Delta t}{2} \right)$$

Дискретизация в  
пространстве скоростей

**Вязкость и скорость звука зависят от шага по времени и пространству!**

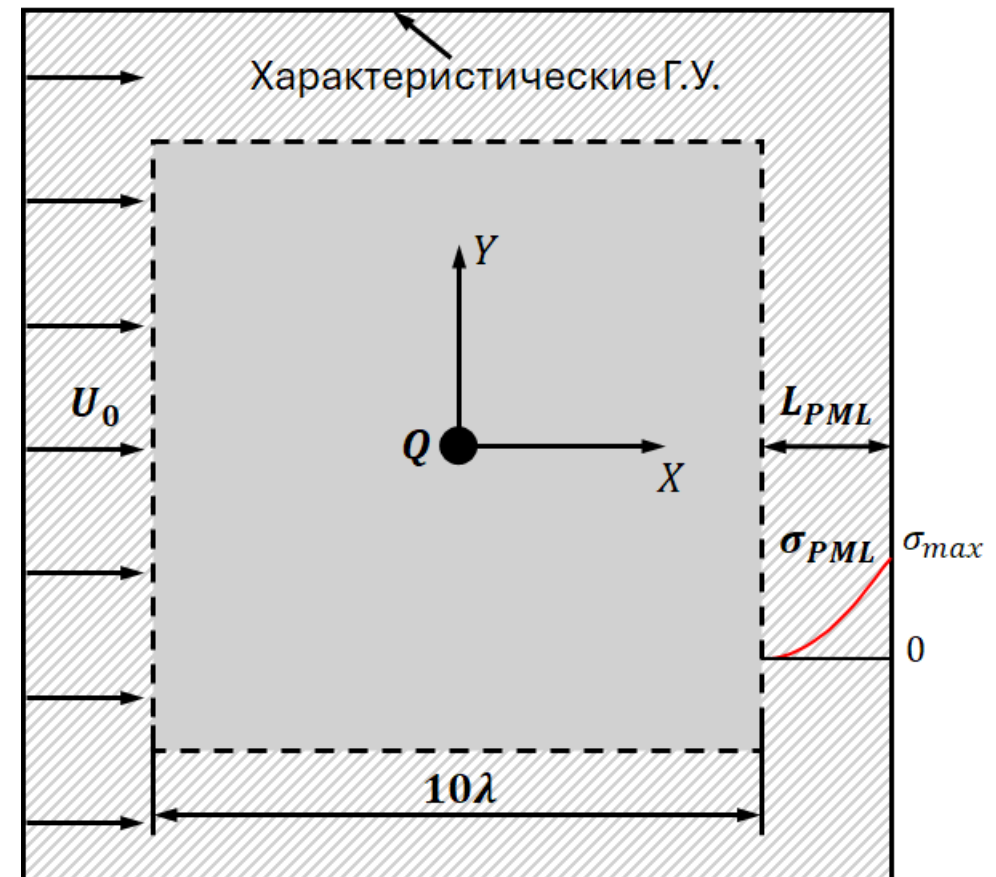
# Постановка задачи о монополе

# Задача о монополе

- Точечный источник  $Q = Q_0 \sin(\omega t)$
- Задача имеет три критерия подобия:
  - $Q' = \frac{Q_0}{\rho_0 \omega} = 0.01, 0.1, 1;$
  - $Re = \frac{c_s^2}{\omega(\nu + \nu_B)} = O(10^8);$
  - $M = \frac{U_0}{c_s} = 0, 0.2$
- Границные условия – характеристические + демпфирующий слой (PML);
- Расчетная сетка – однородная декартова с шагом  $\Delta x$ .
- В рамках ур. Навье-Стокса задача описывается системой:
 
$$\begin{cases} \frac{\partial \rho}{\partial t} + \nabla \cdot (\rho \vec{v}) = Q \delta(\vec{r}); \\ \frac{\partial \rho \vec{v}}{\partial t} + \nabla \cdot (\rho \vec{v} \vec{v}) = -\nabla p + \nabla \cdot (\mu(\nabla \vec{v} + (\nabla \vec{v})^T) + Q \vec{v} \delta(\vec{r})); \\ p = \rho c_s^2 \end{cases}$$

Условие линейности:  

$$\frac{\omega Q_0}{\rho_0 c_s^2} \ll 1$$



и имеет аналитическое решение:  $p'_a = Re \left[ \left( \frac{1}{\beta} \Theta_0^{(2)} \left( \frac{k}{\beta} r_\beta \right) + i \frac{Mx}{r_\beta} \Theta_1^{(2)} \left( \frac{k}{\beta} r_\beta \right) \right) \frac{\omega Q_0}{4i\beta^2} e^{i(\omega t + M k x / \beta^2)} \right];$

# Особенности моделирования источника в рамках LBM

- Вид решаемых решеточных уравнений:

$$f_i(\vec{r} + \vec{c}_i \Delta t, t + \Delta t) - f_i(\vec{r}, t) = -\frac{f_i(\vec{r}, t) - f_i^{eq}(\vec{r}, t)}{\tau} \Delta t + \left(1 - \frac{\Delta t}{2\tau}\right) S_i \Delta t$$

Источник

- Источник – схема Gou:

$$S_i = w_i \left( 1 + \frac{\vec{c}_i \cdot \vec{v} - \vec{v}^2}{c_s^2} + \frac{\vec{c}_i \vec{c}_i : \vec{v} \vec{v}}{c_s^4} \right) Q \delta(\vec{x})$$

- Данная система восстанавливает систему ур. Навье-Стокса:

$$\begin{cases} \frac{\partial \rho}{\partial t} + \nabla \cdot (\rho \vec{v}) = Q \delta(\vec{r}); \\ \frac{D(\rho \vec{v})}{Dt} = \nabla \cdot \underline{P} + Q \vec{v} \delta(\vec{r}) - \left( \tau - \frac{\Delta t}{2} \right) \nabla \cdot (Q \delta(\vec{r}) \vec{v} \vec{v}); \end{cases}$$

$\rightarrow 0$  при  $\tau \rightarrow \Delta t/2$

Граница устойчивости:

$$\mu = \rho c_s^2 \left( \tau - \frac{\Delta t}{2} \right)$$

Повышение устойчивости за счет рекурсивной регуляризации [2]

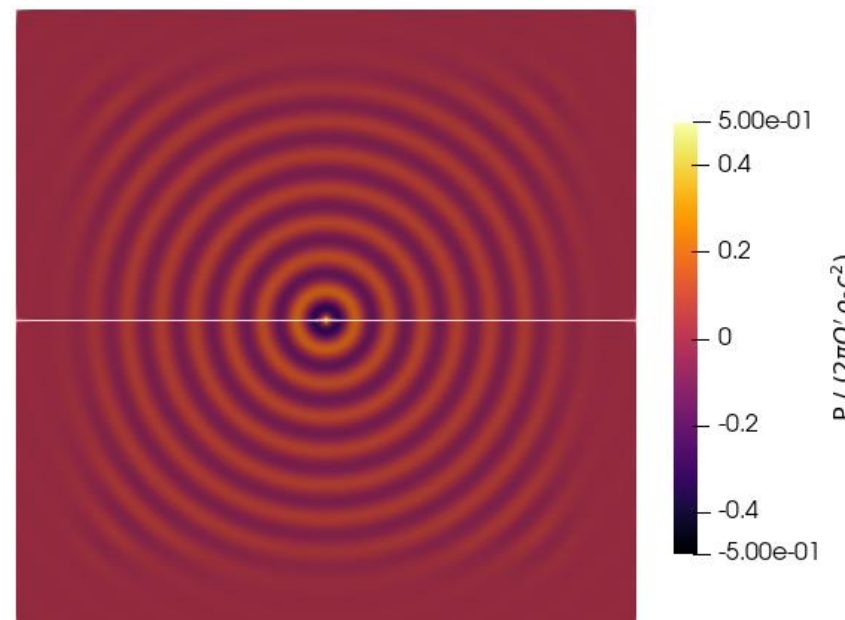
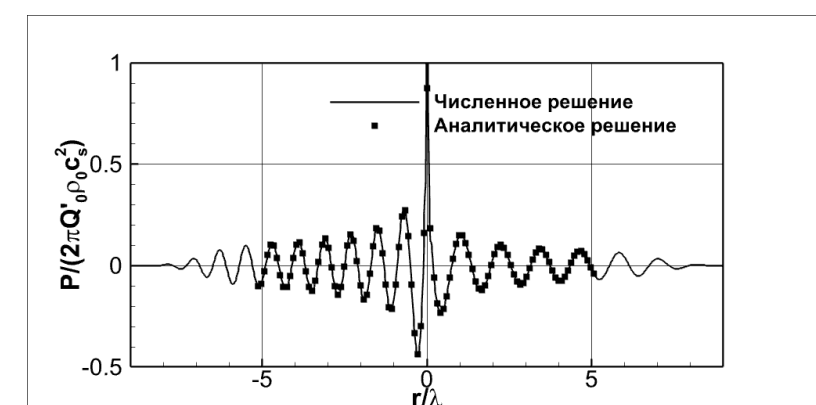
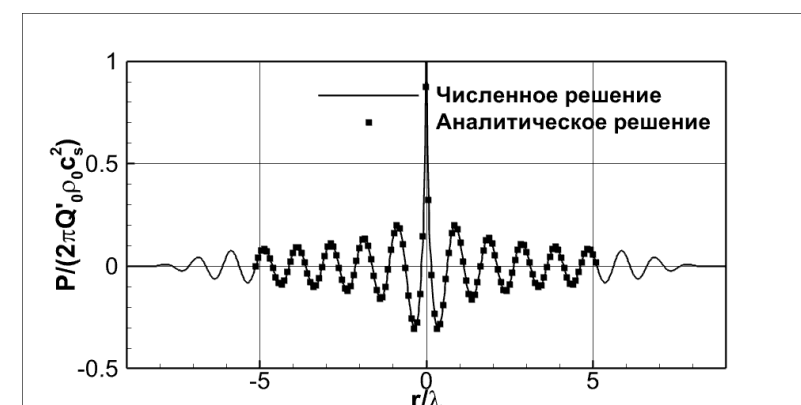
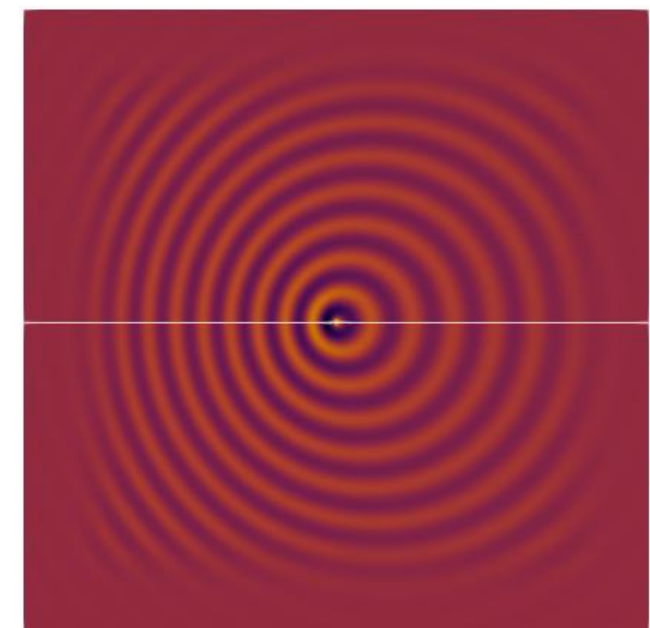
# Результаты расчетов

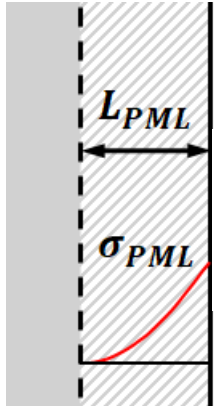
## Сравнение численного решения с аналитическим

- Волновая картина представлена расходящимися окружностями
- Смещение окружностей в направлении внешнего потока
- Хорошее совпадает с аналитическим решением:

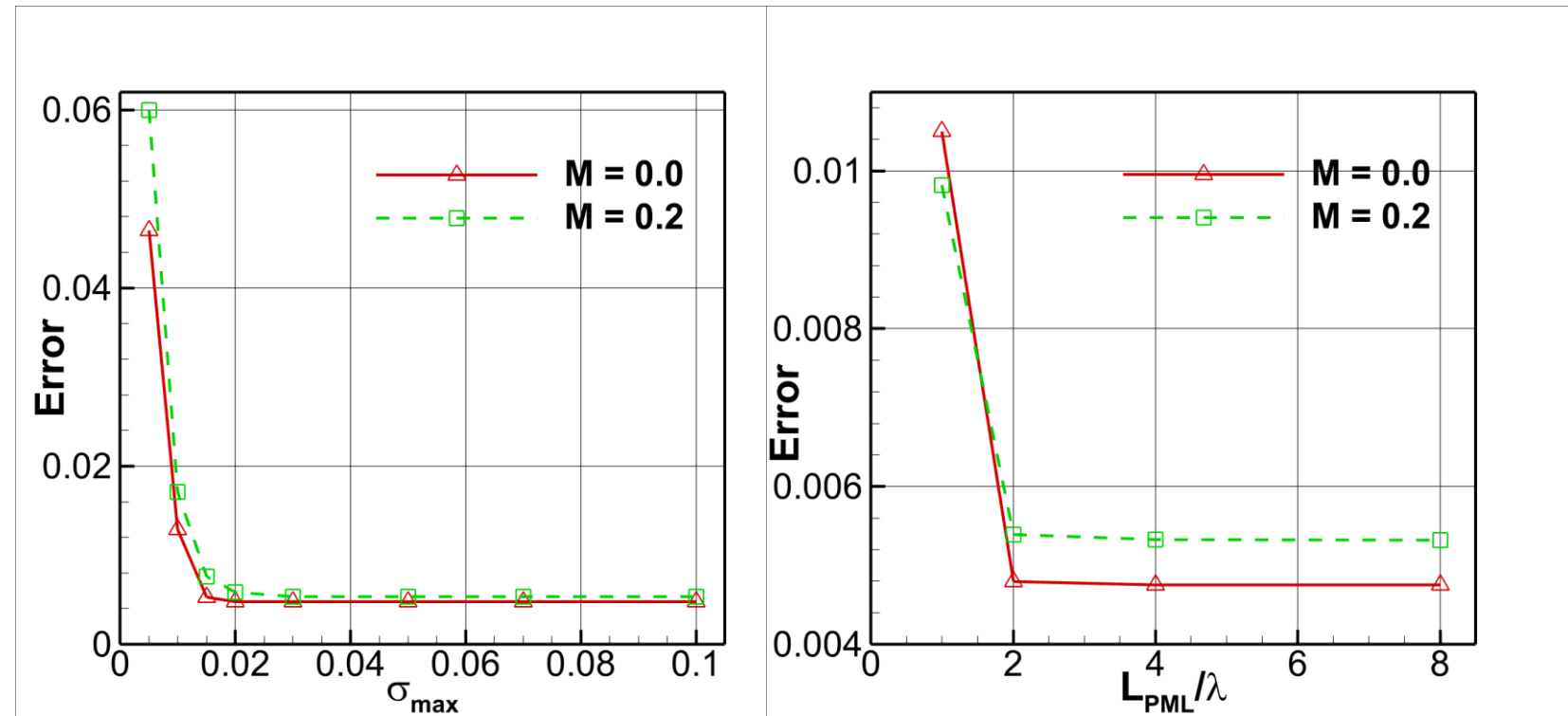
M	Error, %
0	0.47
0.2	0.53

$$Error = \frac{1}{2\lambda} \sum_{x=\lambda}^{3\lambda} \frac{\|p - p_a\|}{|p_a|}$$

 $M = 0$  $M = 0.2$ 



- $L_{PML}$  – толщина демпфирующего слоя
  - $\sigma_{max}$  – максимальный коэффициента демпфирования
- 
- При  $\sigma_{max} \geq 0.02$ ,  $L_{PML} \geq 2\lambda$  решение можно считать независимым от данных параметров
  - Слабое влияние числа Маха



## Влияние амплитуды источника

- Резкий рост ошибки при  $Q'_0 = 1$  связан с нелинейными эффектами:

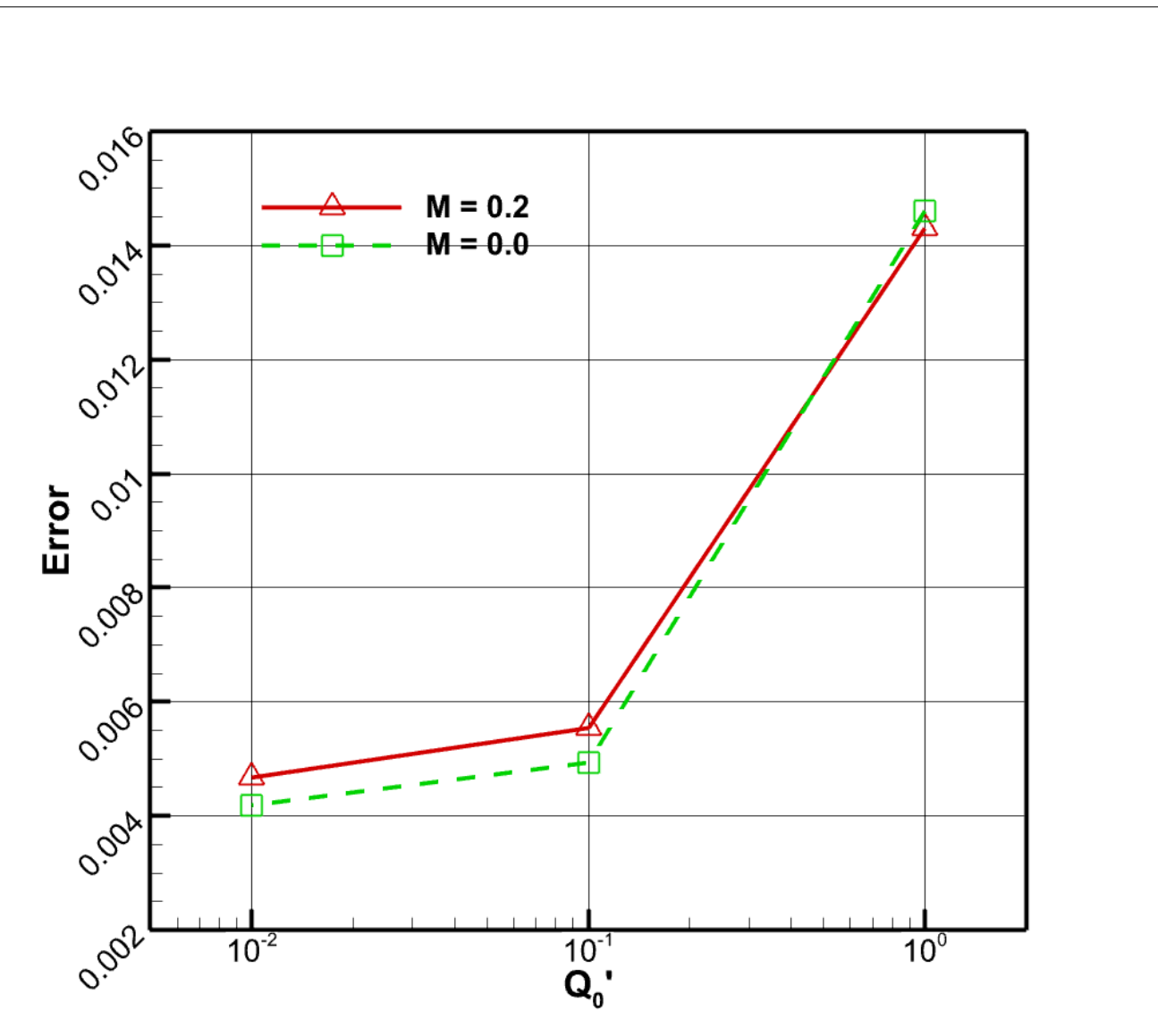
Условие линейности:

$$\frac{\omega Q_0}{\rho_0 c_s^2} \ll 1$$

$$c_s = \frac{1}{\sqrt{3}} \frac{\Delta x}{\Delta t}$$

$$\frac{Q'_0}{\frac{1}{4\pi^2} \cdot \left(\frac{\lambda}{\Delta x}\right)^2} = A \ll 1$$

$\lambda/\Delta x$	$Q'_0$	$A, \%$
29	1	5
29	0.1	0.5
29	0.01	0.05



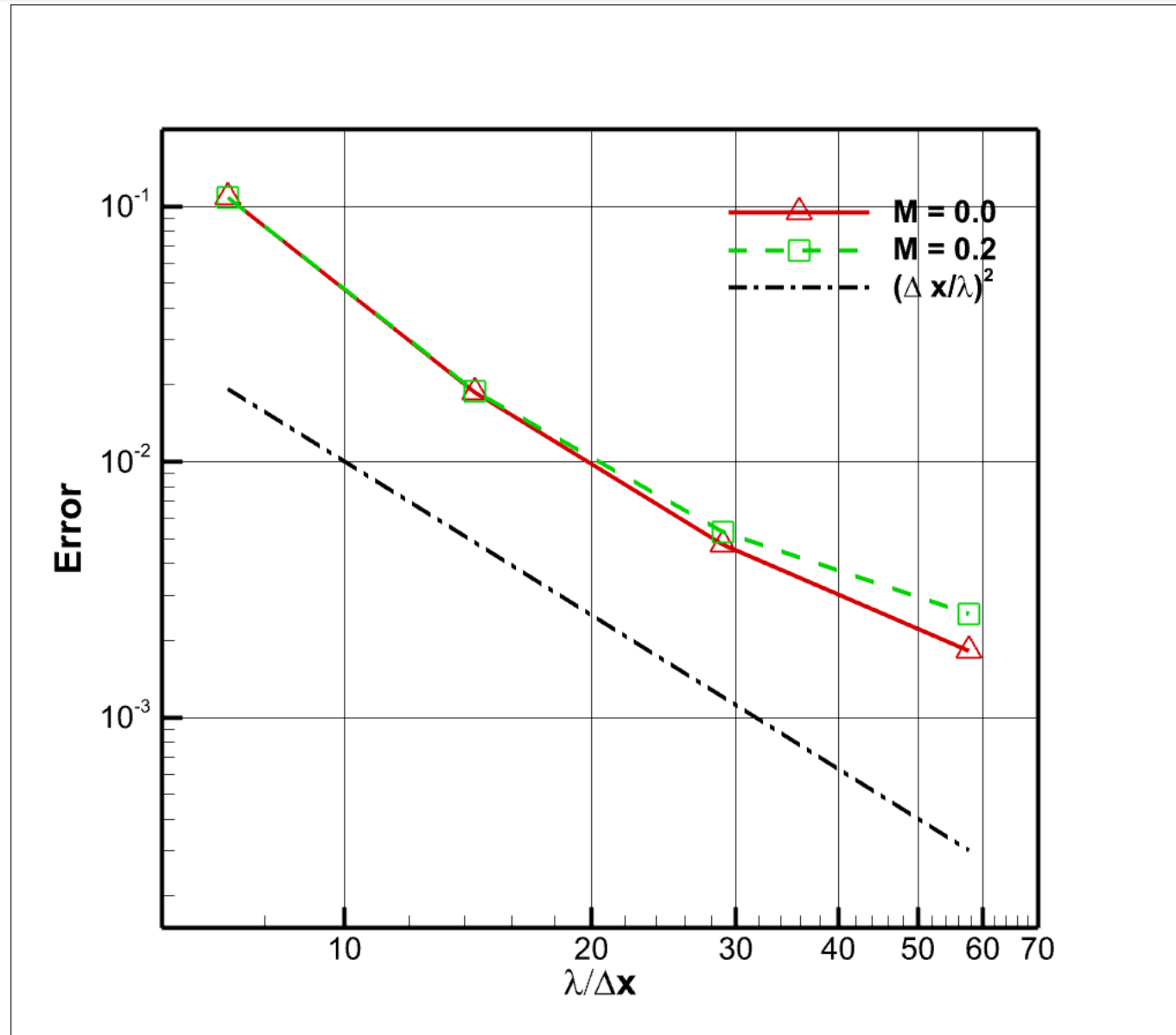
## Влияние шага сетки

Параметры моделирования:

- $Q'_0 = 0.1$ ;
- $\sigma_{max} = 0.05, L_{PML} = 4\lambda$ .

Результаты:

- Второй порядок точности;
- Погрешность менее 1% при  $\frac{\lambda}{\Delta x} = 20$ .



В результате выполнения работы были получены следующие результаты:

- Проведено систематическое исследование возможностей метода решеточных уравнений Больцмана для описания распространения акустических волн на примере решения задачи о распространении волны от точечного гармонического источника акустических возмущений в неограниченном пространстве.
- Установлено, что параметры PML-слоя оказывают существенное влияние на уровень отраженных волн и определены минимальные допустимые значения коэффициента демпфирования ( $\sigma_{max} \geq 0.02$ ) и толщины слоя ( $L_{PML} \geq 2\lambda$ ).
- Исследование зависимости ошибки от амплитуды источника показало, что при  $Q'_0 > 0.1$  нелинейные эффекты становятся заметными, что согласуется с аналитической оценкой.
- Показано, что используемый метод имеет второй порядком точности, и при описании волны для обеспечения относительной погрешности менее 1% необходимо использовать не менее 20 точек на длину волны.

**Спасибо за внимание!**